

Cadenas de decaimiento radiactivo

Proyecto Final

Clemente Ferrer

clemente.ferrer@usm.cl

Universidad Técnica Federico Santa María
Departamento de Física

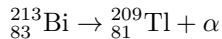
10 de agosto de 2022



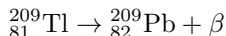
1. Enunciado del problema
2. Cadenas de decaimiento radiactivo
3. Ecuaciones de Bateman
4. Método de Euler
5. Implementación en C++/ROOT
6. Gráficas de N_i/N_0
7. Conclusiones
8. Bibliografía

Enunciado del problema

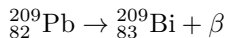
Radioactive decay. An initially pure sample containing N_0 atoms of ${}^{213}_{83}\text{Bi}$ atoms decays according to:



with a half-life of 45,6 minutes. This is followed by the decay:



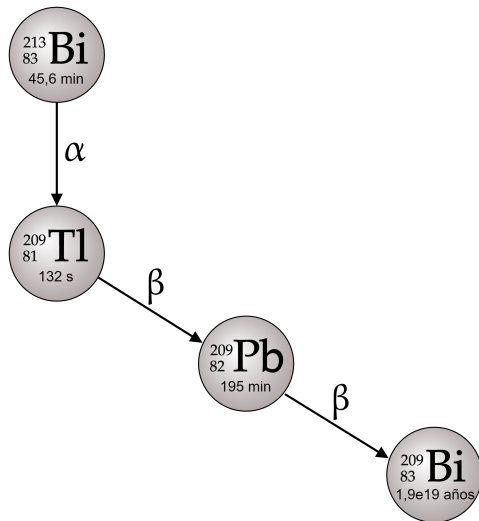
with a half-life of 132 seconds, then:



with a half-life of 195 minutes. The nuclide ${}^{209}_{83}\text{Bi}$ has a half-life so long ($1,9 \times 10^{19}$ years) that it can be considered stable.

Obtain curves for the populations of ${}^{213}_{83}\text{Bi}$, ${}^{209}_{81}\text{Tl}$, ${}^{209}_{82}\text{Pb}$, and ${}^{209}_{83}\text{Bi}$. First derive a set of coupled first-order differential equations for $N_i, i = 1, 2, 3, 4$ for each of the four species; solve these numerically and then plot N_i/N_0 .

Cadenas de decaimiento radiactivo



- Los 4 elementos son metales.
- Emisión α : núcleos de helio-4, ${}^4_2\text{He}^{2+}$.
- Emisión β^- : e^- y $\bar{\nu}_e$.

Ecuaciones de Bateman

Sea N_i el número de átomos del isótopo i en el instante t medido en minutos. Luego

$$\frac{dN_1}{dt} = -\lambda_1 N_1,$$

donde $\lambda_i = \ln(2)/T_i$, siendo T_i la vida media del isótopo i . Observemos ahora que

$$\frac{dN_2}{dt} = \underbrace{\lambda_1 N_1}_{\text{Producido por } N_1} - \underbrace{\lambda_2 N_2}_{\text{Decaimiento de } N_2}$$

y de manera análoga

$$\frac{dN_3}{dt} = \lambda_2 N_2 - \lambda_3 N_3, \quad \frac{dN_4}{dt} = \lambda_3 N_3.$$

Ecuaciones de Bateman

El modelo anterior es conocido como **ecuaciones de Bateman**, cuya expresión general es

$$\begin{cases} \frac{dN_1}{dt} = -\lambda_1 N_1 \\ \frac{dN_i}{dt} = \lambda_{i-1} N_{i-1} - \lambda_i N_i \\ \frac{dN_k}{dt} = \lambda_{k-1} N_{k-1} \end{cases}$$

donde $i \in \{1, \dots, k\}$.

En particular, de nuestro problema obtenemos el siguiente sistema de ecuaciones diferenciales acopladas

$$\begin{cases} \frac{dN_1}{dt} = -\lambda_1 N_1 \\ \frac{dN_2}{dt} = \lambda_1 N_1 - \lambda_2 N_2 \\ \frac{dN_3}{dt} = \lambda_2 N_2 - \lambda_3 N_3 \\ \frac{dN_4}{dt} = \lambda_3 N_3 \end{cases}$$

con $N_1(0) = N_0$ y $N_i(0) = 0$.

Modelo del problema y notación matricial

Ahora bien, podemos escribir el sistema de ecuaciones diferenciales usando notación matricial

$$\begin{pmatrix} N_1' \\ N_2' \\ N_3' \\ N_4' \end{pmatrix} = \begin{pmatrix} -\lambda_1 & 0 & 0 & 0 \\ \lambda_1 & -\lambda_2 & 0 & 0 \\ 0 & \lambda_2 & -\lambda_3 & 0 \\ 0 & 0 & \lambda_3 & 0 \end{pmatrix} \begin{pmatrix} N_1 \\ N_2 \\ N_3 \\ N_4 \end{pmatrix}$$

o equivalentemente, $\mathbf{N}' = A\mathbf{N}$. En particular, $\mathbf{N}'(0) = (N_0, 0, 0, 0)^\top$ y

$$\lambda_1 = 0,0152 \left[\frac{1}{\text{min}} \right], \quad \lambda_2 = 0,315 \left[\frac{1}{\text{min}} \right] \text{ y } \lambda_3 = 0,00355 \left[\frac{1}{\text{min}} \right].$$

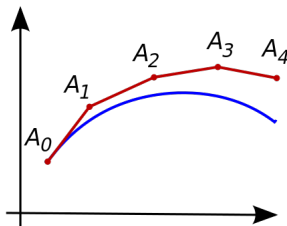
Método de Euler

El método de Euler para resolver ecuaciones del tipo

$$\frac{dy}{dt} = f(t, y(t)), \quad y(t_0) = y_0.$$

Consiste en escoger un valor h como el tamaño de cada paso y definir $t_n = t_0 + nh$. Ahora bien, un paso del método de Euler desde t_n a $t_{n+1} = t_n + h$ está dado por

$$y_{n+1} = y_n + hf(t_n, y_n)$$



Implementación en C++/ROOT

Pseudocódigo:

Algorithm 1: Explicit Euler's method

Data: number N of parts in which we divide the interval $[a, b]$

Result: Sequence of values u_0, u_1, \dots, u_n

Function $Euler(N)$:


$$h := \frac{b - a}{N} ;$$

for $k = 1..N$ **do**

$$t_k = a + hk ;$$

$$u_{k+1} := u_k + hf(t_k, u_k) ;$$

return $[u_0, u_1, \dots, u_N]$;

- Los gráficos fueron generados usando ROOT.
- Para futuros análisis, los códigos fueron subidos al repositorio público  FIS205.



Implementación método de Euler

Declaración de librerías, condiciones iniciales y primer método de Euler.

```
1  #include <iostream>
2  #include <fstream>
3  #include <string>
4  #include <vector>
5  #include <iomanip>
6  using namespace std;
7
8  const double t_inicial = 0;
9  const int n = 1000;
10 const double t_max = 100;
11 const double h = (t_max-t_inicial)/n;
12 const double c[4] = {100,0,0,0};
13 const double l1 = 0.0152;
14 const double l2 = 0.315;
15 const double l3 = 0.00355;
16
17 double N_1(double t,double y);
18 double N_2(double t,double y, vector<double> &n1, int i);
19 double N_3(double t,double y, vector<double> &n2, int i);
20 double N_4(double t,double y, vector<double> &n3, int i);
21 void generar(vector<double> &vect, string input);
```

```
23 int main() {
24     double t0, y0, tn, yn, slope;
25     int i;
26     vector<double> t_array, n1_array, n2_array, n3_array, n4_array;
27
28     t0 = t_inicial;
29     y0 = c[0];
30
31     /* Método de Euler N1 */
32     for(i = 0; i < n; i++){
33         slope = N_1(t0, y0);
34         yn = y0 + h * slope;
35         t_array.push_back(t0);
36         n1_array.push_back(y0/c[0]);
37         y0 = yn;
38         t0 = t0+h;
39     }
40
41     tn = t_inicial;
42     y0 = c[1];
43 }
```

Implementación método de Euler

Métodos de Euler restantes.

```
44  /* Método de Euler N2 */
45  for(i=0; i < n; i++){
46      slope = N_2(t0, y0, n1_array, i);
47      yn = y0 + h * slope;
48      n2_array.push_back(y0/c[0]);
49      y0 = yn;
50      t0 = t0+h;
51  }
52
53  t0 = t_inicial;
54  y0 = c[2];
55
56  /* Método de Euler N3 */
57  for(i=0; i < n; i++){
58      slope = N_3(t0, y0, n2_array, i);
59      yn = y0 + h * slope;
60      n3_array.push_back(y0/c[0]);
61      y0 = yn;
62      t0 = t0+h;
63  }
64
65  t0 = t_inicial;
66  y0 = c[3];
```

```
67
68  /* Método de Euler N4 */
69  for(i=0; i < n; i++){
70      slope = N_4(t0, y0, n3_array, i);
71      yn = y0 + h * slope;
72      n4_array.push_back(y0/c[0]);
73      y0 = yn;
74      t0 = t0+h;
75  }
76
77  generar(t_array, string("times"));
78  generar(n1_array, string("N1"));
79  generar(n2_array, string("N2"));
80  generar(n3_array, string("N3"));
81  generar(n4_array, string("N4"));
82  }
83
```

Implementación método de Euler

Funciones auxiliares.

```
84 double N_1(double t,double y){
85     return -11*y;
86 }
87
88 double N_2(double t,double y, vector<double> &n1, int i){
89     return 11*n1.at(i)-12*y;
90 }
91
92 double N_3(double t,double y, vector<double> &n2, int i){
93     return 12*n2.at(i)-13*y;
94 }
95
96 double N_4(double t,double y, vector<double> &n3, int i){
97     return 13*n3.at(i);
98 }
99
```

```
100 void generar(vector<double> &vect, string input){
101     ofstream myfile (input);
102     if (myfile.is_open()){
103         for(int count = 0; count < n; count ++){
104             if (count == n-1)
105                 myfile << vect.at(count);
106             else
107                 myfile << vect.at(count) << "\n";
108         }
109         myfile.close();
110     }
111 }
```

Hasta este punto, se han creado cinco archivos de texto diferentes: times.txt, N1.txt, N2.txt, N3.txt y N4.txt.

Archivos de texto generados

- Los archivos se encargan de almacenar los valores de N_i para cada partición de tiempo.
- El número de líneas es igual a n (número de pasos).

N1 ×		N2 ×		N3 ×		N4 ×		times ×	
1	1	1	0	1	0	1	0	1	0
2	0.99848	2	1.52e-05	2	0	2	0	2	0.1
3	0.996962	3	2.98981e-05	3	4.788e-09	3	0	3	0.2
4	0.995447	4	4.41101e-05	4	1.42042e-08	4	1.69974e-14	4	0.3
5	0.993934	5	5.78515e-05	5	2.80938e-08	5	6.74223e-14	5	0.4
6	0.992423	6	7.11369e-05	6	4.63071e-08	6	1.67155e-13	6	0.5
7	0.990915	7	8.39809e-05	7	6.86988e-08	7	3.31546e-13	7	0.6
8	0.989408	8	9.63974e-05	8	9.51284e-08	8	5.75426e-13	8	0.7
9	0.987904	9	0.0001084	9	1.2546e-07	9	9.13132e-13	9	0.8
10	0.986403	10	0.000120001	10	1.59561e-07	10	1.35851e-12	10	0.9
11	0.984904	11	0.000131215	11	1.97305e-07	11	1.92496e-12	11	1
12	0.983406	12	0.000142052	12	2.38568e-07	12	2.62539e-12	12	1.1
13	0.981912	13	0.000152525	13	2.83229e-07	13	3.47231e-12	13	1.2
14	0.980419	14	0.000162646	14	3.31174e-07	14	4.47777e-12	14	1.3
15	0.978929	15	0.000172425	15	3.8229e-07	15	5.65344e-12	15	1.4
16	0.977441	16	0.000181873	16	4.36468e-07	16	7.01057e-12	16	1.5
17	0.975955	17	0.000191001	17	4.93603e-07	17	8.56003e-12	17	1.6
18	0.974472	18	0.000199819	18	5.53593e-07	18	1.03123e-11	18	1.7
19	0.972991	19	0.000208337	19	6.1634e-07	19	1.22776e-11	19	1.8
20	0.971512	20	0.000216564	20	6.81747e-07	20	1.44656e-11	20	1.9

Implementación en ROOT

plot.c x

```
1  #include <iostream>
2  #include <fstream>
3  #include <string>
4  using namespace std;
5
6  void plot(int pasos, string file, string file2) {
7      TCanvas *c1 = new TCanvas("c1", "Grafico", 200, 10, 700, 500);
8      Double_t x[pasos], y[pasos];
9      Int_t i=0;
10     Int_t j=0;
11     string linea;
12     ifstream archivo(file.c_str());
13     while (getline(archivo, linea)) {
14         x[i] = stod(linea);
15         i=i+1;
16     }
17     archivo.close();
18     ifstream archivo2(file2.c_str());
19     while (getline(archivo2, linea)) {
20         y[j] = stod(linea);
21         j=j+1;
22     }
23     archivo2.close();
24     TGraph* gr = new TGraph(pasos,x,y);
25     gr->SetTitle(" ");
26     gr->SetLineColor(2);
27     gr->SetLineWidth(2);
28     gr->Draw("AC");
29     c1->SaveAs("ploteo.png");
30 }
```

Ejecución por consola del código anterior:

```
Microsoft Windows [Versión 10.0.19042.1415]
(c) Microsoft Corporation. Todos los derechos reservados.
```

```
C:\Users\ccfer>ssh -XY exphys11@ui.hpc.utfsm.cl
exphys11@ui.hpc.utfsm.cl's password:
Last login: Sat Dec 25 17:30:14 2021 from 170.82.189.242
```

```
-----
Bienvenidos al cluster HPC!
Welcome to the HPC cluster!
http://www.hpc.utfsm.cl
-----
```

```
(base) [exphys11@ui02 ~]$ cd cf
(base) [exphys11@ui02 cf]$ use root
Package "root" is ready
(base) [exphys11@ui02 cf]$ root -v
```

```
-----
Welcome to ROOT 6.22/06                                https://root.cern |
(c) 1995-2020, The ROOT Team; conception: R. Brun, F. Rademakers |
Built for linuxx86_64gcc on Nov 27 2020, 15:14:08 |
From tags/v6-22-06@v6-22-06 |
Try '.help', '.demo', '.license', '.credits', '.quit'/'.'q' |
-----
```

```
root [0] .L plot.c
root [1] plot(1000, string("times.txt"), string("N1.txt"))
Info in <TCanvas::Print>: png file ploteo.png has been created
```

Gráficas de N_i/N_0

A continuación se muestran las gráficas generadas por ROOT:

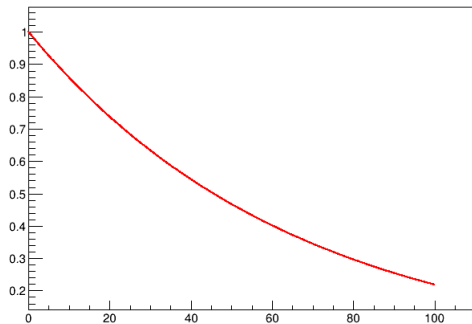


Figura: N_1/N_0 .

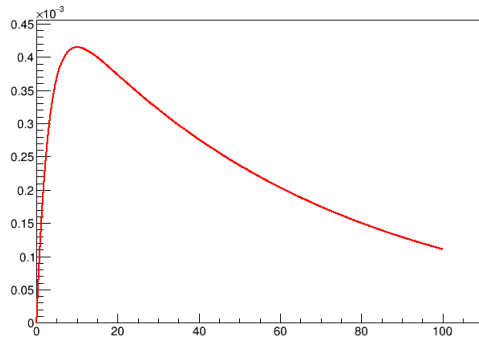


Figura: N_2/N_0 .

Gráficas de N_i/N_0

A continuación se muestran las gráficas generadas por ROOT:

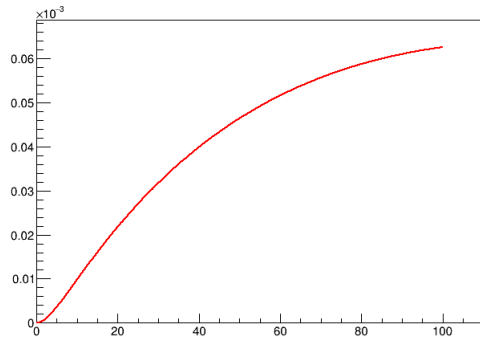


Figura: N_3/N_0 .

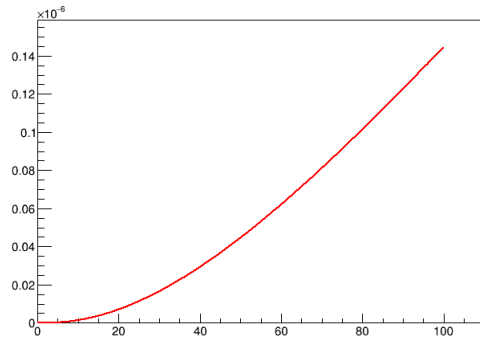


Figura: N_4/N_0 .

Conclusiones

- El decaimiento de $^{213}_{83}\text{Bi}$ se produce más rápido que cualquiera de los otros isótopos.
- El número de átomos de $^{209}_{81}\text{Tl}$ tiende a crecer hasta alcanzar un máximo local y luego decaer.
- La convexidad de la curva creciente de $^{209}_{82}\text{Pb}$ vislumbra intenciones de estabilizarse.
- Finalmente, la concavidad hacia arriba creciente que presenta $^{209}_{83}\text{Bi}$ denota la estabilidad enunciada del problema.

Para **futuros trabajos** relacionados, podría considerarse una cadena de decaimiento radiactiva más larga, resuelta con otro método numérico.

Bibliografía



H. Bateman.

Solution of a system of differential equations occurring in the theory of radioactive transformations.

Proc. Cambridge Phil. Soc., 15:423–427, 1910.



J. F. Boudreau, R. M. Bianchi, and E. S. Swanson.

Applied computational physics.

Oxford University Press, 2018.



H. D. Young, R. A. Freedman, A. L. Ford, and H. D. Young.

Sears and Zemansky's University physics with modern physics.

Pearson Education, 2020.

Cadenas de decaimiento radiactivo

Proyecto Final

Clemente Ferrer

clemente.ferrer@usm.cl

Universidad Técnica Federico Santa María
Departamento de Física

10 de agosto de 2022

